

Ф.В. Новиков, д-р техн. наук, С.А. Дитиненко, канд. техн. наук,  
И.А. Рябенков, Харьков, Украина

## УСЛОВИЯ СНИЖЕНИЯ СИЛОВОЙ НАПРЯЖЕННОСТИ ПРОЦЕССОВ МЕХАНИЧЕСКОЙ ОБРАБОТКИ

*В работе определены основные условия уменьшения силовой напряженности процессов резания лезвийными и абразивными инструментами*

Задачи повышения качества, точности и производительности обработки на финишных операциях требуют изыскания новых методов снижения силовой напряженности процессов резания и шлифования материалов. В данном направлении достигнуты значительные успехи и в первую очередь благодаря применению прогрессивных процессов резания и шлифования инструментами из синтетических сверхтвердых материалов, позволяющими снизить интенсивность трения в зоне резания и повысить износостойкость рабочих поверхностей [1, 2, 3]. Вместе с тем, для эффективного применения указанных процессов важно знать их технологические возможности в плане снижения силовой и тепловой напряженностей обработки. Поэтому целью настоящей работы является теоретический анализ основных параметров силовой напряженности процесса резания и определение условий их снижения.

В наших работах [2, 3] предложены аналитические зависимости для определения основных параметров силовой напряженности процессов механической обработки – коэффициента резания  $K_{рез} = P_z / P_y$  и условного напряжения резания  $\sigma = P_z / S_{cрез}$ :

$$K_{рез} = \operatorname{ctg}(\psi - \gamma) = \operatorname{tg} 2\beta , \quad (1)$$

$$\sigma = 2 \cdot \tau_{cдe} \cdot \operatorname{tg}\left(45^\circ + \frac{\psi - \gamma}{2}\right) = 2 \cdot \tau_{cдe} \cdot \operatorname{ctg} \beta \quad (2)$$

где  $P_z, P_y$  – тангенциальная и радиальная составляющие силы резания, Н;  $S_{cрез}$  – площадь поперечного сечения среза, м<sup>2</sup>;  $\gamma$  – передний угол инструмента, град;  $\psi$  – условный угол трения обрабатываемого материала с передней поверхностью инструмента ( $\operatorname{tg} \psi = f$  – коэффициент трения);  $\beta$  – условный угол сдвига материала;  $\tau_{cдe}$  – предел прочности на сдвиг материала, Н/м<sup>2</sup>.

Характер изменения коэффициента резания  $K_{pes}$  от угла  $\psi - \gamma$  показан на рис. 1. Поскольку  $K_{pes} > 0$ , то угол  $\psi - \gamma$  может изменяться в пределах от  $90^\circ$  до  $0$ . При  $\psi - \gamma = 90^\circ$  имеем  $K_{pes} = 0$ , а при  $\psi - \gamma = 0^\circ$  имеем  $K_{pes} \rightarrow \infty$ . Следовательно, увеличить  $K_{pes}$  можно уменьшением угла  $\psi - \gamma$  от  $90^\circ$  до  $0$ .

На рис. 2,а приведены рассчитанные по зависимости (1) значения угла  $\psi - \gamma$  для разных значений  $K_{pes}$ . С увеличением  $K_{pes}$  угол  $\psi - \gamma$  уменьшается. По определению угол  $\psi - \gamma$  является углом действия и обозначается через  $\omega$ , т.е.  $\omega = \psi - \gamma$ . Поэтому, используя рис. 2,а, определим передний угол инструмента  $\gamma = \psi - \omega$  для разных значений  $K_{pes}$ , рис. 2,б. Как видно, угол  $\gamma$  принимает как отрицательные, так и положительные значения. При  $K_{pes} < 1$  угол  $\gamma < 0$  для всего возможного диапазона изменения  $\psi = 0 \dots 45^\circ$  (или  $f = 0 \dots 1$ ). При  $K_{pes} > 1$  угол  $\gamma$  может быть как отрицательным, так и положительным. В области малых значений  $\psi \leq 10^\circ$  (или  $f \leq 0,176$ ) угол  $\gamma < 0$ , а при больших значениях коэффициента трения  $\gamma > 0$ . Следовательно, выполнение условия  $K_{pes} < 1$  обусловлено отрицательным передним углом инструмента  $\gamma$ . При переходе от отрицательного к положительному переднему углу инструмента  $\gamma$  и с увеличением  $f$  коэффициент резания  $K_{pes}$  увеличивается и равен  $K_{pes} > 1$ .

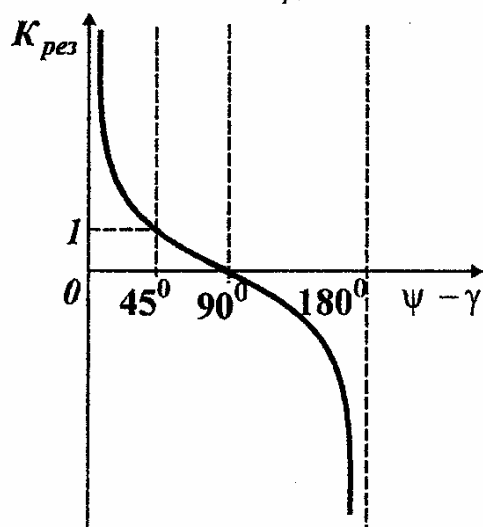


Рис. 1 – Зависимость коэффициента резания  $K_{pes}$  от угла  $\psi - \gamma$ .

Реализуя весьма малые значения коэффициента трения  $f$ , можно обеспечить увеличение коэффициента резания  $K_{pes}$  при обработке инструментом с отрицательным передним углом  $\gamma$ . Это соответствует

условиям резания (шлифования) абразивными или алмазными зернами круга, имеющими отрицательные передние углы. Таким образом, теоретически показано, что основным условием увеличения коэффициента резания  $K_{rez}$  является уменьшение коэффициента трения  $f$ . В этом случае процесс резания может быть осуществлен инструментами как с положительными, так и с отрицательными передними углами, подтверждением чему являются процессы абразивной обработки. Вместе с тем, исходя из рис. 2, б, коэффициент резания  $K_{rez} = 1$  достигается при относительно небольших отрицательных передних углах  $\gamma < -35^\circ$ . Обеспечить такие углы у режущих зерен можно, как установлено на практике, в начальный период обработки. По мере износа зерен их отрицательные передние углы увеличиваются вплоть до значений  $\gamma \rightarrow -90^\circ$ , что естественно ведет к уменьшению коэффициента резания  $K_{rez} \rightarrow 0$ . Этим показано, что при шлифовании, а также при других видах абразивной обработки трудно реализовать значения коэффициента резания  $K_{rez} = 1$ . Вследствие износа и затупления зерен, как правило, коэффициент резания  $K_{rez} << 1$ , что является основной причиной существенного увеличения условного напряжения резания  $\sigma$  и соответственно температуры резания [4, 5].

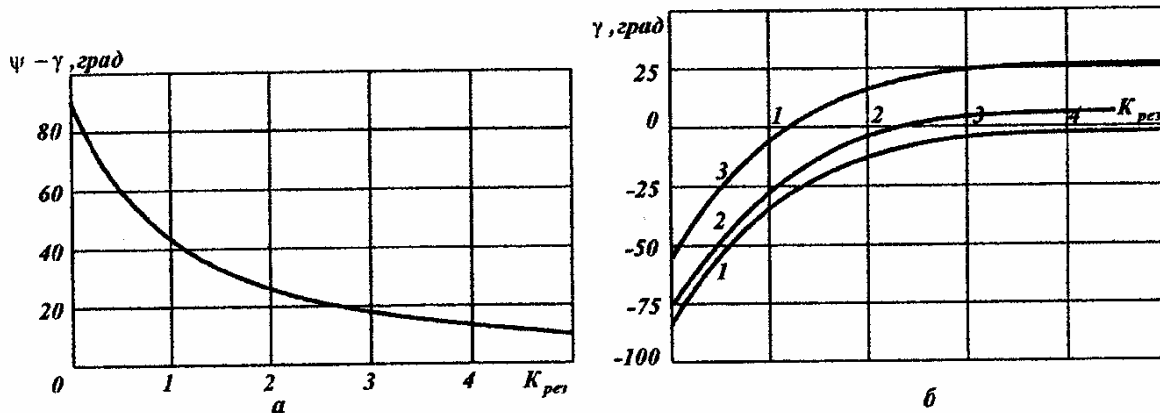


Рис. 2 – Зависимость угла  $\psi - \gamma$  (а) и переднего угла инструмента  $\gamma$  (б) от коэффициента резания  $K_{rez}$ : 1 –  $\psi = 10^\circ$  ( $f = 0,176$ ); 2 –  $\psi = 20^\circ$  ( $f = 0,364$ ); 3 –  $\psi = 40^\circ$  ( $f = 0,839$ ).

В связи с этим, важнейшим условием увеличения коэффициента резания  $K_{rez}$  при шлифовании необходимо рассматривать применение алмазно-абразивных инструментов, поскольку алмаз обладает наименьшим коэффициентом трения из всех абразивных материалов ( $f = 0,07$ ;  $\psi = 4^\circ$ ). В этом случае потенциально можно достичь значения  $K_{rez} = 1$  в широких

пределах изменения отрицательного переднего угла режущего алмазного зерна, т.е. при резании как острым, так и затупленным ( $\gamma \rightarrow -90^\circ$ ) зерном.

Таким образом, зависимость (1) справедлива для процессов абразивной и лезвийной обработки. Основным параметром в ней следует рассматривать условный угол трения  $\psi$  обрабатываемого материала с передней поверхностью инструмента. Чем он больше, тем меньше  $K_{\text{рез}}$  и соответственно ниже эффективность обработки. Очевидно, для снижения отрицательной роли параметра  $\psi$ , положительный передний угол инструмента  $\gamma$  необходимо увеличивать до значения  $\psi$ . Тогда будет выполняться условие  $K_{\text{рез}} \rightarrow \infty$ , что позволит в максимальной степени реализовать технологические возможности процесса резания. Необходимо отметить, что это основной путь увеличения коэффициента резания и улучшения условий стружкообразования при резании. На данной основе построены процессы резания лезвийными инструментами. Однако с увеличением положительного переднего угла инструмента  $\gamma$ , как известно, снижается прочность режущего клина инструмента, а это отрицательно сказывается на его стойкости и работоспособности. Чтобы повысить прочность режущего клина инструмента целесообразно создавать на нем отрицательный передний угол. Тогда зависимость (1) примет вид:

$$K_{\text{рез}} = \operatorname{ctg}(\psi + \gamma). \quad (3)$$

Чем больше отрицательный передний угол инструмента  $\gamma$ , тем меньше  $K_{\text{рез}}$  и соответственно ниже эффективность процесса резания. Увеличить  $K_{\text{рез}}$ , исходя из зависимости (3), можно лишь за счет уменьшения условного угла трения  $\psi$  обрабатываемого материала с передней поверхностью инструмента, применяя, например, алмазно-абразивную обработку. В данном случае уменьшение  $\psi$  происходит, с одной стороны, за счет снижения коэффициента трения алмазных (или абразивных) зерен с обрабатываемым материалом. С другой стороны, за счет значительного увеличения скорости резания по сравнению с лезвийной обработкой, а это, как известно, приводит к уменьшению коэффициента трения. В данном направлении эффективно применение высокоскоростного шлифования. Следует отметить, что существенно уменьшить  $\psi$  без увеличения положительного переднего угла инструмента  $\gamma$  при резании лезвийным инструментом, согласно зависимости (1), можно также и в условиях высокоскоростной обработки. Однако для этого необходимо обеспечить высокую износостойкость инструмента при резании в условиях повышенных температур, что достигается, например, за счет нанесения на рабочие поверхности инструмента износостойкого покрытия.

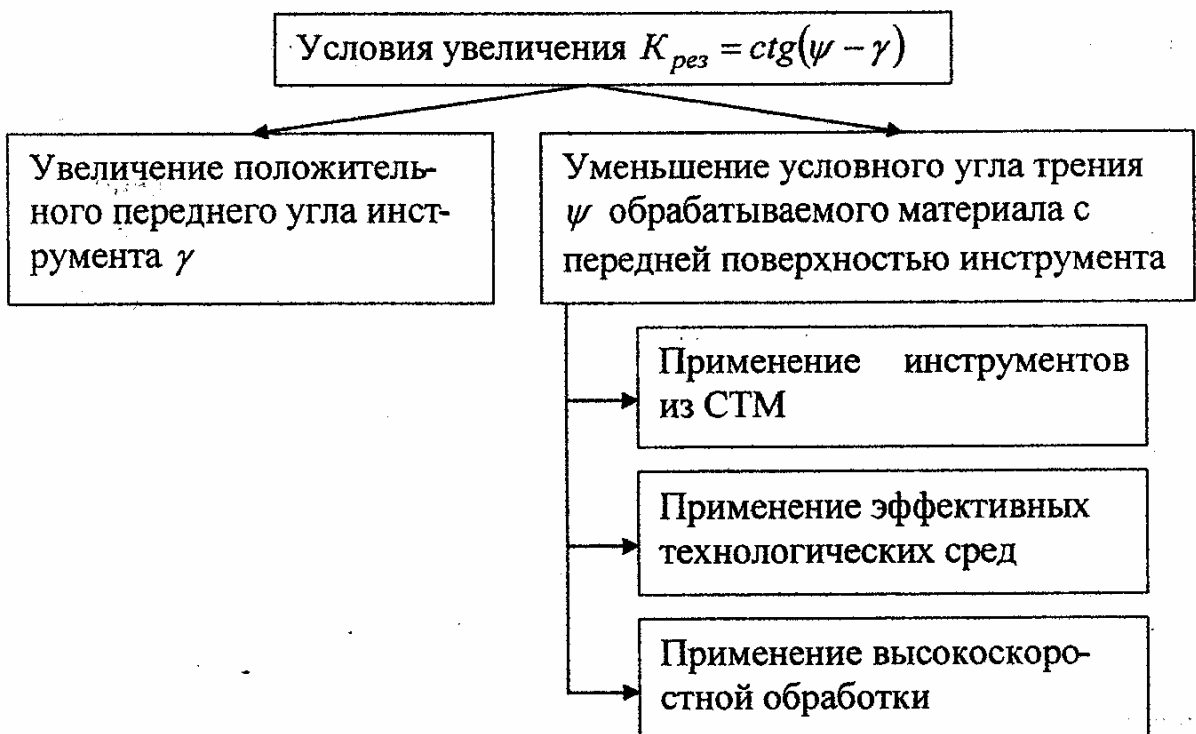


Рис. 3 – Структурная схема условий повышения коэффициента резания  $K_{pez}$

Таким образом показано, что нивелировать отрицательную роль трения обрабатываемого и инструментального материалов можно двумя путями: увеличением положительного переднего угла инструмента  $\gamma$  и уменьшением коэффициента трения обрабатываемого и инструментального материалов. Во втором случае целесообразно использовать в качестве инструментальных материалов синтетические сверхтвердые материалы (СТМ – синтетический алмаз, эльбор, кубический нитрид бора и т.д.), применять эффективные технологические среды и обработку лезвийными и абразивными инструментами вести с повышенными скоростями резания (применяя высокоскоростную обработку), рис. 3.

Проведем анализ условного напряжения резания  $\sigma$  по зависимости (2).

График функции  $\operatorname{tg}\left(45^\circ + \frac{\psi - \gamma}{2}\right)$  показан на рис. 4,а. Для наглядности решения на этом же рисунке показан график зависимости (1), увязывающий коэффициент резания  $K_{pez}$  с углом  $\psi - \gamma$ . Как установлено выше, угол  $\psi - \gamma$  изменяется в пределах  $0\dots90^\circ$ , т.к.  $K_{pez} > 0$ . Поэтому функция  $\operatorname{tg}\left(45^\circ + \frac{\psi - \gamma}{2}\right)$  будет изменяться в пределах  $1\dots\infty$ . При  $\psi - \gamma = 0$  она равна единице. Тогда  $\sigma$  согласно зависимости (2) будет принимать наименьшее значение

$\sigma = 2 \cdot \tau_{\text{сde}}$ , а коэффициент резания  $K_{\text{рез}} \rightarrow \infty$ . При  $\psi - \gamma = 90^\circ$ , наоборот, условное напряжение резания  $\sigma \rightarrow \infty$ , а коэффициент резания  $K_{\text{рез}} = 0$ . Необходимо отметить, что представленная графическая интерпретация теоретического решения хорошо согласуется с вышеприведенным анализом изменения коэффициента резания  $K_{\text{рез}}$  в зависимости от углов  $\psi$  и  $\gamma$ .

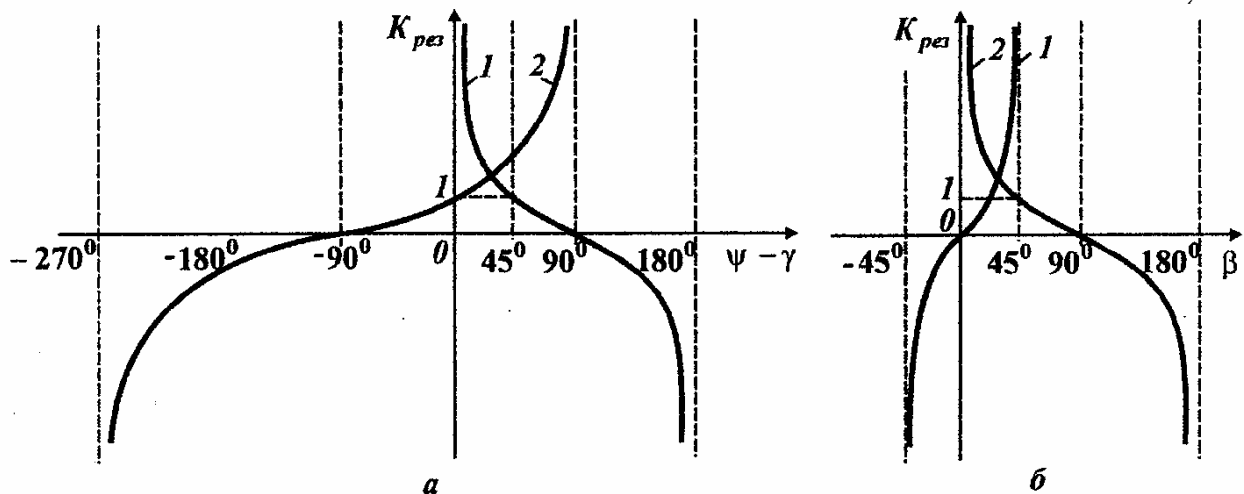


Рис. 4 – Зависимости коэффициента резания  $K_{\text{рез}}$  (1) и функций: а –

$$\operatorname{tg}\left(45^\circ + \frac{\psi - \gamma}{2}\right) \quad (2)$$

Как следует из зависимости (2), условное напряжение резания  $\sigma$  может быть определено как через угол  $\psi - \gamma$ , так и через условный угол сдвига материала  $\beta$ . Поэтому на рис. 4,б графически показаны зависимости  $K_{\text{рез}}$  и функции  $\operatorname{ctg}\beta$  от угла  $\beta$ . Как видно, параметры  $K_{\text{рез}}$  и  $\sigma$  могут изменяться в диапазоне  $\beta = 0 \dots 45^\circ$ . При  $\beta = 0$  коэффициент резания  $K_{\text{рез}} = 0$ , а условное напряжение резания  $\sigma \rightarrow \infty$ . При  $\beta = 45^\circ$  коэффициент резания  $K_{\text{рез}} \rightarrow \infty$ , а  $\sigma$  принимает наименьшее значение  $\sigma = 2 \cdot \tau_{\text{сde}}$ . Таким образом, случай  $\beta = 45^\circ$  является наилучшим с точки зрения обеспечения процесса стружкообразования при резании. При  $\beta \leq 0$  процесс резания неосуществим, возможен лишь процесс упруго-пластического деформирования материала, т.е. для осуществления процесса резания необходимо выполнить условие  $\beta > 0$ .

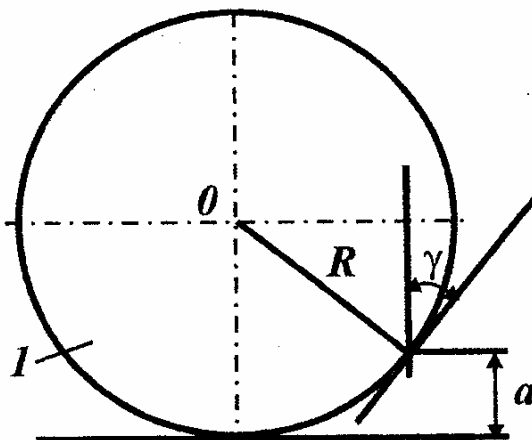


Рис. 5 – Расчетная схема переднего угла режущего зерна 1.

При микрорезании единичным зерном уменьшение отрицательного переднего угла  $\gamma$  связано с увеличением толщины среза  $a$ , рис. 5. Это вытекает из условия:  $a + R \cdot \cos(90^\circ - \gamma) = R$  и зависимости:  $a/R = 1 - \sin \gamma$ , где  $R$  – радиус режущего зерна. Очевидно, чем больше  $a$ , тем меньше отрицательный передний угол  $\gamma$  режущего зерна и больше  $K_{rez}$ , определяемый зависимостью (3), что хорошо согласуется с экспериментальными данными [2]. С увеличением  $a$  коэффициент резания  $K_{rez}$  непрерывно увеличивается, принимая значения меньше единицы. Это свидетельствует о том, что угол  $\psi + \gamma$  изменяется в диапазоне  $45^\circ \dots 90^\circ$ , поскольку в данном диапазоне функция  $\tan(\psi + \gamma) > 1$ . Следовательно, увеличение толщины среза  $a$  является важным фактором увеличения коэффициента резания  $K_{rez}$  и соответственно уменьшения условного напряжения резания  $\sigma$ . Эффект достигается за счет уменьшения отрицательного переднего угла  $\gamma$  режущего зерна.

**Список литературы:** 1. Синтетические алмазы в машиностроении / Под ред. В.Н. Бакуля. – К.: Наук. думка, 1976. – 351 с. 2. Физико-математическая теория процессов обработки материалов и технологий машиностроения / Под общ. ред. Ф.В. Новикова и А.В. Якимова. В десяти томах. – Т. 1. "Механика резания материалов" – Одесса: ОНПУ, 2002. – 580 с. 3. Теоретические основы резания и шлифования материалов: Учеб. пособие / Якимов А.В., Новиков Ф.В., Новиков Г.В., Серов Б.С., Якимов А.А. – Одесса: ОГПУ, 1999. – 450 с. 4. Новиков Ф.В., Рябенков И.А., Кленов О.С. Глубинное алмазное шлифование быстрорежущей стали // Труды 13-й Международной научно-технической конференции. Физические и компьютерные технологии. – Х.: ХНПК "ФЭД", 2007. – С. 232-236. 5. Новиков Ф.В., Рябенков И.А. Теоретический анализ условий повышения качества обработки по температурному критерию // Вісник Харківського національного технічного університету сільського господарства ім. Петра Василенка. – Х.: ХНТУСГ. – 2007. – Вип. 61. – С. 164-171.

Поступила в редакцию 01.02.2008